# 大日方 英,和泉 孝志 (群馬大学大学院医学系研究科機能分子生化学)

Progress in proton-sensitive GPCR research Hideru Obinata and Takashi Izumi (Department of Molecular Biochemistry, Gunma University Graduate School of Medicine, 3–39–22 Showa-machi, Maebashi, Gunma 371–8511, Japan)

# 細胞周期における核膜孔のダイナミクス

#### はじめに

「真核細胞」が「真核細胞」であるゆえん, それは文字 通り細胞における「核」の存在である. この細胞核は単に 遺伝情報を持つゲノム DNA を細胞質から隔離するだけで なく, 秩序立った内部構造を維持し, 個々の細胞の機能に あわせてゲノム構造を支えている. このため, 真核細胞は 原核細胞に比べてより複雑なシステムを持つことが可能に なった. その細胞核膜の二重膜上に存在する核膜孔は、核 膜上のもっとも顕著な構造体であり、細胞質と核をつなぐ 物質輸送・情報伝達の場として機能している1,2). たとえ ば、ヒトの全タンパク質のうち、約3分の1のタンパク質 が核内に運ばれ、核内で転写されたほとんどすべての RNA が核外に運び出される. このことを考えれば、核膜 孔の重要性は明らかだろう、実際、活発に増殖する初期 胚・がん細胞などでは、核膜孔は核膜上に非常に高密度に 存在し、「核膜は核膜孔によってできている」と言っても 過言ではない. また近年, この核膜孔が単に核-細胞質間 の輸送ばかりではなく、遺伝子発現制御にも積極的に関与 することが明らかになりつつある<sup>3)</sup>.

# 1. 核膜孔複合体とは?

核膜孔複合体(Nuclear Pore Complex, NPC)は、ユニークな八方対称構造をとっており、脊椎動物では直径約120 nm、総分子量100MDa以上にも及ぶ巨大なタンパク質複合体である。八方対称であるため、約30種類の構成因子がそれぞれ8~48 コピー(8の倍数個)ずつ存在し、ポリペプチド総数は500から1,000個と推測されている。この核膜孔構成因子は機能によって大きく三つに分類できるこ

とが分かってきた.一つ目は、脊椎動物では Nup107-Nup 160 コンプレックスと呼ばれる複合体構築のスキャホールドとして機能するもの.二つ目はフェニルアラニンとグリシンに富む疎水性の繰り返し配列 (FG リピート)を持つ複合体因子群であり、構成因子のおよそ 1/3 を占める.三つ目は脂質膜の膜貫通領域を持つタンパク質で、脊椎動物では Pom121、gp210、NDC1の三つが知られており、核膜孔複合体の本体を核膜にアンカーしていると考えられている.核膜孔複合体の構造の詳細については概説した総説などを参照されたい1.22.

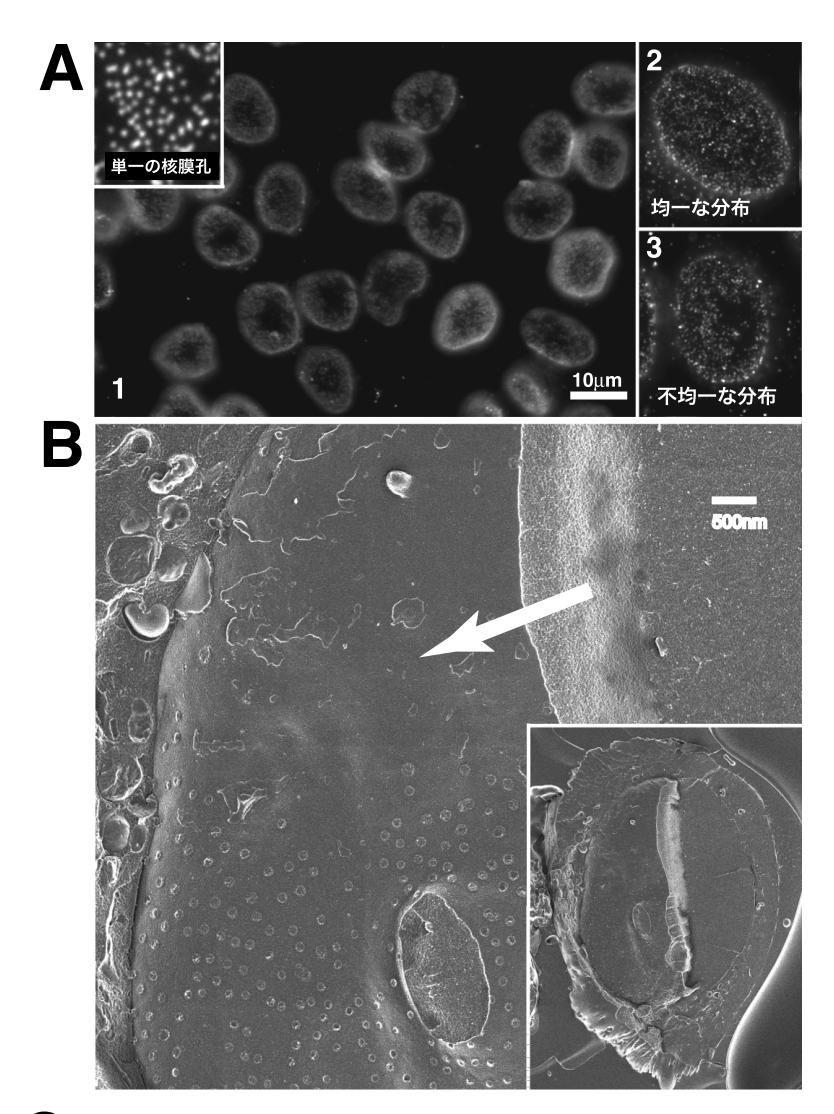
#### 2. 細胞周期における核膜孔の動態をしらべる

今までの核膜孔の研究は、主に輸送坦体を通過させる構造体としての側面から行われてきた。実際、細胞周期( $G_1$ -S- $G_2$ )の進行にともなって核膜上の核膜孔の数が 2 倍に増加することを、1971年に Maul が報告して以来 $^4$ 、核膜孔の動態についてはほとんど解析されていなかった。私たちは「この巨大な複合体がいつ、どこで、どのように、構築されるのか?」という細胞周期における核膜孔のダイナミクスに深い興味を持ち、研究をはじめることにした。

私たちは、まず研究室にあったヒト HeLaS3 細胞におい て、「核膜孔が核膜表面にどのように分布するのか?」を 蛍光免疫染色で調べることにした. カバースリップの上に 培養した HeLaS3 細胞では、カバースリップに面した核の 底面はほとんどフラットである. ここで核膜孔構成タンパ ク質の FG リピートを認識する mAB414 抗体を用いると, 蛍光顕微鏡で核表面の1個1個の核膜孔を詳細に観察する ことができる (図 1A-1 左上). 蛍光免疫染色した核表面 を観察すると、驚いたことに核膜孔の分布は、個々の細胞 によってかなり異なることが分かった(図1A-1). ある細 胞では核膜孔はほぼ均一に分布する一方(図1A-2),他の 細胞では、顕著な偏りが存在し、核膜孔が存在しない領域 が広がっている (図 1A-3). 私たちは、このような細胞に よる核膜孔分布の違いに大変興味を持ち、核膜上に広がる 「核膜孔の存在しない領域」を "pore-free island" と名付け, その構造と動態について詳細に解析することにした5.

蛍光免疫染色法は、抗体を用いて核膜孔を間接的に可視化しているため、抗体の accessibility の問題もはらんでいる. 私たちは、核膜孔を直接「見る」ため、細胞を瞬間凍結してフリーズフラクチャーを作製し、クライオ走査型電子顕微鏡で観察した(図 1B). すると、露わになった核表面には、1個1個の核膜孔に加えて、核膜上に広がるpore-free island が確かに存在した(図 1B). それでは、蛍

2008年 2月〕 119



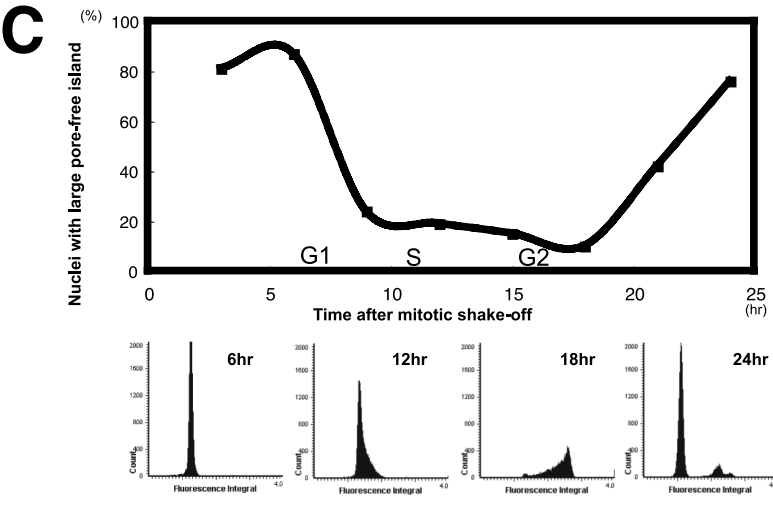


図1 核膜上の核膜孔分布の偏りと pore-free island

A:非同調のHeLaS3細胞の核表面の核膜孔蛍光免疫 染色像.1. 低倍率像 2·3. 高倍率像 3において は核膜孔の分布の顕著な偏りが観察される (pore-free island)

B: 細胞瞬間凍結後のフリーズフラクチャーサンプルのクライオ走査型電子顕微鏡像. 一つ一つの核膜孔が見え,核膜上に pore-free island が広がっているのが分かる (矢印).

C:細胞周期進行にともなう pore-free island の解消. 分裂期同調した HeLaS3 細胞をリリース後, 経時的に pore-free island を持つ細胞の割合をプロットした(上 パネル). リリース後の細胞周期進行をオリンパス LSC2 でモニターした(下パネル). 5 時間後, 80-90% の細胞に pore-free island が観察されたが、細胞周期進 行に伴い(7-8 時間後), 顕著に減少した. 分裂期再 突入後, また増加が観察された(18 時間後). 120 〔生化学 第80巻 第2号

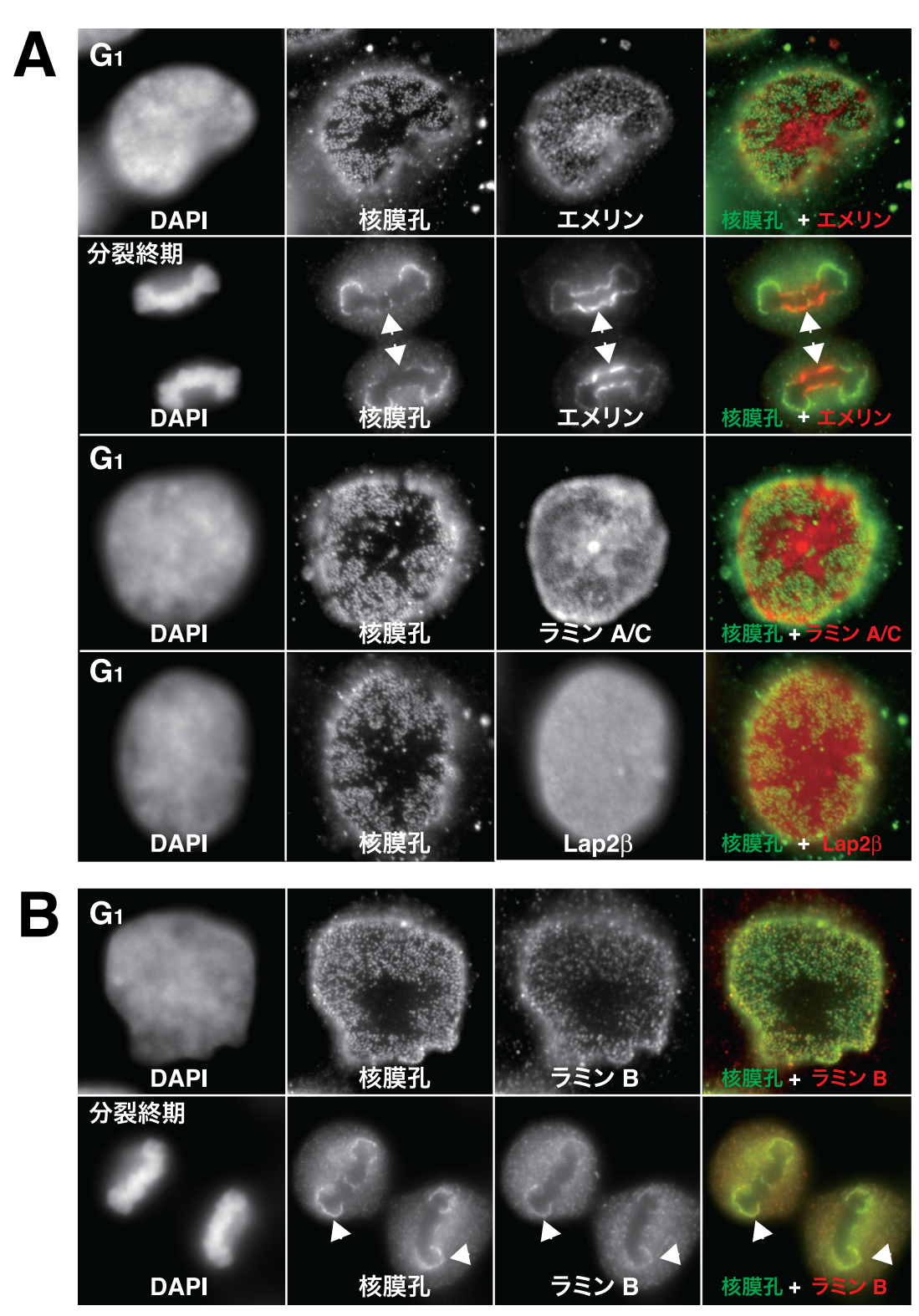


図 2

2008年 2月〕 121

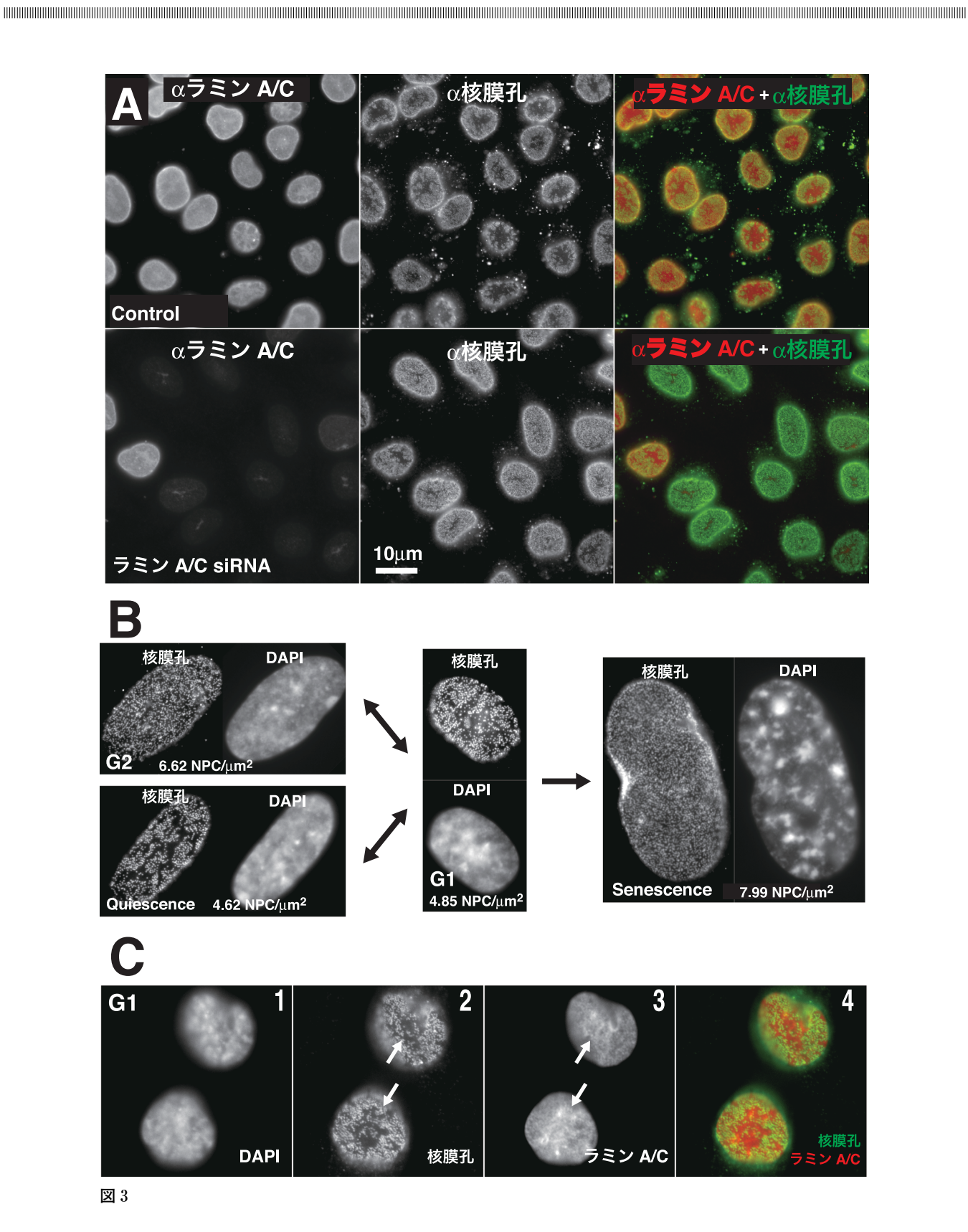


図 2 pore-free islandにおける核内膜タンパク質の特異的な濃縮  $A:G_1$ 期の細胞核 (1,3,4段目)と分裂終期 (2段目)の核膜孔 (左から2列目)と,さまざまな核内膜タンパク質 (3 列目)の蛍光免疫染色.pore-free island に Emery-Dreifuss 型筋ジストロフィーの原因遺伝子産物として知られるエメリンとラミン A/C の濃縮が観察される.一方,lap2b は核膜上にほぼ均一に分布している (4 段目).分裂終期では両側面に pore-free island が観察され (5 矢印),エメリンの局在が見られる (5 役目). (5 関のイメージはすべて核の底面(下面)のものである. 核の上面にも多くの場合,同様の pore-free island が観察される. (5 日)と分裂終期 (5 段目)の核膜孔(左から2 列目)とラミン (5 別目)の蛍光免疫染色.エメリンとラミン (5 名/C とは異なり,核膜孔領域に局在が見られる.

#### 図 3

A:pore-free island 形成におけるラミン A/C の関与. ラミン A/C を siRNA でノックダウンすると(下段),pore-free island の形成が抑えられた.

B:ヒト正常 2 倍体細胞(IMR90)の細胞周期における核膜孔分布の変化.  $G_1$ 期(中央)から  $G_2$ 期(左上)に進行するにつれて、パッチ状に広がった核膜孔の分布の偏り(運河のようなpore-free island)は解消され、密度も増加した. 血清を除去した quiescence 期 ( $G_0$ ;休止状態、左下)では分布の偏りを示し、核膜孔密度は低下した. しかしながら、分裂を繰り返した replicative senescence 期(老化状態、右下)の細胞では分布は均一となり、密度は増加した. つまり、核膜孔の偏りは、HeLa 細胞のようながん細胞だけでなく、正常細胞でも存在し、pore-free island にはラミン A/C の濃縮がみられた (C).

光免疫染色のイメージの中に、どうして pore-free island が存在する細胞と存在しない細胞があるのだろうか? 先の観察では非同調の細胞を用いたため、分裂期同調した細胞をリリースし、pore-free islandを持つ細胞の割合を経時的に計測した(図 1C). この結果、分裂終期から G<sub>1</sub> 初期の約80%の細胞に pore-free island が存在していたが、 S 期、G<sub>2</sub> 期と細胞周期の進行にしたがって、pore-free island は徐々に解消されることが分かった.さらに、核膜孔の密度は細胞周期の進行に伴い増加した.つまり、核膜上の核膜孔の分布や密度は細胞周期においてダイナミックに変化することが明らかになった.

#### 3. pore-free island の形成<sup>5)</sup>

それでは、どのようにして pore-free island が作られるのであろうか? この問いに答える前に、少し数学的な考察を行っておきたい。 $G_1$  期では、pore-free island 以外の核膜孔の密度は約7個/ $\mu m^2$ である。そして、平均的な pore-free island の面積は  $30\mu m^2$  ほどである。もし、核膜孔がランダムに作られ、その分布がポアソン分布に従うと仮定すると、「 $30\mu m^2$  の領域で核膜孔が作られない確率」が計算

できる. そのような計算結果は約1×10<sup>-79</sup>と出た. つま り、偶然では起こりえない!ということであり、核膜上の ある領域を pore-free island にする何かが存在するというこ とを意味する. pore-free island の基盤構造を詳しく調べる ため、核膜の内膜タンパク質群 (inner nuclear membrane proteins) を調べることにした. ラミナなどの核膜の内膜 構造は、核膜の「裏打ち」として、核膜を物理的に支えて いると考えられている<sup>1)</sup>. エメリン, ラミン A/C, lap2b, ラミンB, ラミンBレセプター (LBR) など様々な核内膜 タンパク質群の蛍光免疫染色を行った結果、驚いたことに pore-free island には Emery-Dreifuss 型筋ジストロフィーの 原因遺伝子産物として知られるエメリンやラミン A/C が 高度に濃縮されていることが分かった(図2A).一方,ラ ミンBやLBRは、核膜孔と同様の分布を示した(図2B). lap2b は核膜上にほぼ一様に分布する (図 2A). また, エ メリンの YFP 融合タンパク質の細胞内発現でも、同様の 局在が得られている.これらの結果から、核内膜タンパク 質は、従来考えられていたように核膜上に一様に分布する ものではなく、ラミンBやLBRは核膜孔領域、エメリン やラミン A/C は pore-free island のように、選択性や「棲 み分け」が存在することが分かった.この知見は、今後、 核膜構造を考える上で非常に興味深い、以上の解析は、Gu 期の核で行ったが、細胞周期を分裂終期までさかのぼって も、やはり新生核の両側面に pore-free island が存在し、エ メリンの濃縮が確かに観察された(図2A 2段目).この 分裂終期におけるエメリンの濃縮は、もともと原口らに よって見出された「コア領域」と呼ばれるものである。. このように pore-free island は新生核が形成される分裂終期 から存在することが分かった. ここで付け加えたいのは分 裂終期と G<sub>1</sub> 期における pore-free island の位置関係である. 図2のG<sub>1</sub>期のイメージはすべて核の底面(下面)を示し ている. 多くの場合, 核の上面にも同様の pore-free island が観察される. つまり分裂終期では、pore-free island が核 の両側面にあるが、G<sub>1</sub>期の核では上面と下面(底面)に 存在する.このことは、分裂終期から G<sub>1</sub>期にかけて、核 が90度回転することを意味している.

### 4. 核膜孔の分布に対する核内膜タンパク質の関与<sup>5</sup>

先ほど pore-free island にはエメリンやラミン A/C が高度に濃縮されていると述べた。それでは実際、核内膜タンパク質は核膜孔の分布にどのような影響を与えているのだろうか? この問いに答える最初の手がかりが意外なところから得られた。研究室内のいくつかの HeLa 細胞株を調

べたところ、どの株でも分裂終期には pore-free island が存 在するが、細胞周期における pore-free island の解消時期は まちまちであった. このことはそれぞれの株で「何か」が 変化して、pore-free island の安定化に寄与していることを 意味する. 私たちは、さまざま核内膜タンパク質を調べた 結果、細胞株間でラミンA/Cの発現量に大きな違いがあ ることを見出した. つまり, 顕著な pore-free island を持つ ものは、ラミンA/Cの発現量が増加していたのである. それではラミン A/C の量を減らせばどうなるだろうか? このため、先のHeLaS3のラミンA/CをsiRNAでノック ダウンし, 発現量を減らしてみた (図 3A). すると, porefree island は解消していた(図 3A). 一方, エメリンのノッ クダウンは pore-free island に変化をもたらさなかった. こ れはエメリンの核内膜への局在はラミン A/C に依存する という知見を考えれば納得する. つまりエメリンはラミン A/Cの「乗り物」にすぎない. また、細胞にラミン A/C を過剰発現させると、やはり pore-free island が形成される ことが分かった. つまり, ラミン A/C のような「核内膜 の裏打ちタンパク質」が pore-free island の形成を含む、核 膜孔分布の制御に重要な役割を果たすことが明らかになっ たわけである. また、私たちのグループの船越らの解析で は、膜貫通領域を持つ Pom121 をノックダウンすると、ラ ミンA/Cの核膜上での凝集が観察された<sup>n</sup>.この知見も核 膜孔と核内膜タンパク質の結びつきを示しているのかもし れない.

### 5. 正常細胞での pore-free island<sup>5)</sup>

このような pore-free island は、HeLa 細胞のような不死 化したがん細胞ばかりでなく、ヒト 2 倍体正常細胞の細胞 周期においても観察される(図 3B).  $G_1$  期では、核膜孔はパッチ状に分布し、運河のような pore-free island が広がっている(中央).  $G_2$  期に進行するにつれて、パッチ状の核膜孔の分布の偏りは解消され、密度も増加した(左上). 血清を除去した quiescence 期( $G_0$ :休止状態)では分布の偏りを示し、核膜孔密度は低下した(左下). しかしながら、分裂を繰り返した replicative senescence 期(老化状態)の細胞では分布は均一となり、密度は増加した(右). つまり、核膜孔の挙動は細胞周期だけでなく、細胞の生理状態によっても大きく変化することが分かった.確かに pore-free island にはラミン A/C の濃縮が見られた(図 3C).

### 終わりに

以上のように、私たちはこれまで、核膜孔を指標として細胞核の動的な形成過程の解析を行ってきた。その結果、核膜上の核膜孔の分布には大きな偏りが存在し、核膜孔の数や分布は細胞周期や分化の過程でダイナミックに変化することを明らかしたが、現在、核膜孔形成の解析は、細胞分裂期直後の核膜新生に伴う核膜孔形成を対象とするものが主流である。核の二重膜形成後、どのようにして新たな核膜孔が膜に挿入され、構築されていくか? そのメカニズムは、分裂直後の核膜孔形成とは全く異なる可能性があり、極めて興味深いものである。また、核膜孔の構築はどのように制御されているのであろうか? 最近の Ellenberg らの解析では、核膜孔複合体内における各構成タンパク質の安定性は、数秒から数十時間と大きな隔たりがあることが分かっている®。このような核膜孔内の滞在時間と構築過程には相関があるのかもしれない。

今後,本稿で紹介した知見を足がかりとして,透過・走 査電子顕微鏡観察,光学顕微鏡ライブ観察を組み合わせ て,核膜孔形成のメカニズムを総合的に解明したいと考え ている.

本稿に述べた研究は、理研の今本細胞核機能研究室の 佐々木さん、渡辺さん、飯野さん、船越博士、理研脳セン ターの中臣さん、端川博士、阪大微研の矢幡博士、今本教 授、大阪市大の立花博士との共同研究として遂行されまし た.ここに深く感謝致します.

- Hetzer, M.W., Walther, T.C., & Mattaj, I.W. (2005) Annu. Rev. Cell Dev. Biol., 21, 347–380.
- Suntharalingam, M., & Wente, S.R. (2003) Dev. Cell., 4, 775–789.
- Ishii, K., Arib, G., Lin, C., Van Houwe, G., & Laemmli, U.K. (2002) Cell, 109, 551–562.
- Maul, G.G., Price, J.W., & Lieberman, M.W. (1971) J. Cell Biol., 51, 405–418.
- Maeshima, K., Yahata, K., Sasaki, Y., Nakatomi, R., Tachibana, T., Hashikawa, T., Imamoto, F., & Imamoto, N. (2006) J. Cell Sci., 119, 4442–4451.
- Haraguchi, T., Koujin, T., Hayakawa, T., Kaneda, T., Tsutsumi, C., Imamoto, N., Akazawa, C., Sukegawa, J., Yoneda, Y., & Hiraoka, Y. (2000) J. Cell Sci., 113, 779–794.
- Funakoshi, T., Maeshima, K., Yahata, K., Sugano, S., Imamoto, F., & Imamoto, N. (2007) FEBS Lett., 581, 4910–4916
- 8) Rabut, G., Doye, V., & Ellenberg, J. (2004) *Nat. Cell Biol.*, 6, 1114–1121.

前島 一博, 今本 尚子 (独立行政法人理化学研究所 中央研究所 今本細胞核機能研究室)

Cell cycle dependent dynamics of nuclear pores Kazuhiro Maeshima and Naoko Imamoto (Cellular Dynamics Laboratory, RIKEN Institute, 2–1, Hirosawa, Wako-shi, Saitama, 351–0198 Japan)

### DNA損傷トレランスの分子機構とその役割

#### はじめに

遺伝情報の中枢であるゲノムを構成する核酸は、非常に 反応性に富んだ化学的性質を備えている. このような化学 的性質は、DNA 複製や転写などの様々な生命機能に貢献 している一方で, 放射線や化学物質などの外的要因や, 細 胞内代謝の過程で生じる活性酸素及び細胞内 pH の変化な どの内的要因による膨大な数の DNA 損傷を引き起こす原 因ともなっている. これらの DNA 損傷が修復される前に DNA 複製フォークがその損傷箇所に到達すると、塩基の 誤対合や複製フォークの進行阻害が起こる. これらの DNA 複製異常は、突然変異等のゲノム不安定性や細胞死 を引き起こすことから、ヒトにおいては発がんや老化促進 の原因となっている. DNA 損傷に起因する DNA 複製 フォークの進行阻害が起こった場合、複製の再開に DNA 損傷の修復を待っていては、DNA 複製完了にかかる時間 は様々な DNA 損傷の修復効率に依存し、さらに DNA 修 復機構自体が細胞増殖に必須の機能となってしまう. その ような事態を回避するために、損傷部位を修復することな く, "バイパス" する機能により DNA 複製フォークの進 行を保証する RAD 6 DNA 損傷トレランス機構が存在す る. 本稿では、DNA 損傷による DNA 複製の進行阻害の 回避に働く DNA 損傷トレランスに関して、出芽酵母の研 究から明らかになってきた分子メカニズムについて解説す る.

## 出芽酵母における DNA 損傷トレランス経路に 関わる因子

紫外線等によって生じる DNA 複製阻害の回避には、

RAD 6 経路に属する Rad6-Rad18 複合体が中心的な役割を果たしている. Rad6 及び Rad18 は、それぞれ標的タンパク質のリジン残基へユビキチン(Ub)を結合する反応に関与する Ub 結合(E2)及び Ub リガーゼ(E3)活性を有するタンパク質であり、さらに、Rad18 は、DNA 結合活性を持ち、増殖核抗原(PCNA)と物理的に相互作用する(図 1). PCNA は、DNA ポリメラーゼの伸長反応の促進因子(DNA クランプ)であることから、Rad18 は、E3 酵素としての機能以外に、Rad6-Rad18 複合体を停止したDNA 複製装置上にリクルートする役割を持つと考えられる.

RAD 6 経路の下流には、大きく分けて二つの経路が存在する。一つは、損傷部位を乗り越えて DNA 合成を行うことが出来る DNA ポリメラーゼが関与する経路で、一般に、損傷乗り越え型 DNA 合成(translesion DNA synthesis, TLS)経路と呼ばれている(図 1)。このような DNA ポリメラーゼとして、DNA ポリメラーゼ ζ及び DNA ポリメラーゼ η が存在する。 DNA ポリメラーゼ η は、少なくとも紫外線によって生じるシクロブタン型ピリミジンダイマーのような損傷塩基に対しては、正しい塩基を対合させることが出来るため、TLS の中でもエラーフリーの働きを持っている<sup>1.2)</sup>。 DNA ポリメラーゼ ζは、REV3 遺伝子によってコードされており、Rev7 サブユニットと複合体として機能する。出芽酵母では、紫外線などの DNA 損傷によって突然変異が誘発されることが知られているが、これらの大部分は、DNA ポリメラーゼ ζに依存している<sup>3)</sup>。

そして、もう一つの RAD6 経路として機能するのが、 Ubc13-Mms2 複合体及び Rad5 からなる複製後修復経路 (post replication repair, PRR) であり, DNA 複製フォーク が損傷塩基部位を誤りなく乗り越える働きにおいて主要な 役割を果たしている (図 1). Ubc13 及び Mms2 は, Ub 結 合酵素(E2)に類似した構造を持つが、実際には Ubc13 のみがその機能を有する. Rad5 は, Swi-Snf2 型 ATPase ド メインを持つ Ub リガーゼ (E3) であり、Rad18 及び Ubc 13と相互作用することから、Rad6-Rad18-PRR のユビキチ ン化修飾酵素からなる高次複合体形成に重要な役割を果た している (図 1)<sup>4)</sup>. PRR 経路の詳細は未だ不明な点が多い が、DNA 複製のリーディング鎖合成が停止した場合、新 生ラギング鎖の相同鎖領域を鋳型として部分的に DNA 合 成が行われた後、この分岐点が複製の進行方向に移動する ことで損傷塩基箇所を乗り越える反応を行っていると考え られている (図1). このような反応は,一時的に DNA 合 成の鋳型鎖を交換することからテンプレートスイッチ反応